

(123)

## 高炉鉄床脱珪における反応機構 (連続溶銑処理方法の開発-8)

日本钢管株技研 福山研究所 ○岩崎克博 山田健三

大槻 満 岸本純幸 伊藤春男

1. 緒言 高炉鉄床脱珪処理においてTIMがSFMに勝ることはすでに報告したが、本報においては熱力学的データと並流反応モデルによるマスバランス式を用いて溶銑桶を微小長さに分割して脱珪反応速度について検討した結果を報告する。(※1 Top Injection Method の略、※2 Soft Feed Method の略)

2. 調査方法 Si, Mn, C の FeO による酸化反応については以下のデータを用いた。

$$\log K_{SiO_2}(l) = \log(a_{SiO_2}(l)/a_{Si} \cdot a^2_{FeO}) = 16186/T - 5.938 \quad (1)^{2)}$$

$$\log K_{MnO}(l) = \log(a_{MnO}(l)/a_{Mn} \cdot a_{FeO}) = 6440/T - 2.95 \quad (2)^{2)}$$

$$\log K_{CO}(l) = \log(P_{CO}/a_C \cdot a_{FeO}) = -5154/T + 4.761 \quad (3)^{2)}$$

メタルおよびスラグ中各成分の活量係数は次式に従って計算した。

$$f_i = \sum_j e^{\frac{1}{T}(\%_j)} + \sum_j \gamma_j \frac{1}{T} (\%_j)^2 \quad (4)^{3)}$$

$$\ln Y_{FeO}(l) = (-3372 N_{SiO_2}(N_{MnO} + N_{SiO_2}) + 7850 N_{MnO} \cdot N_{SiO_2})/T \quad (5)^{4)}$$

$$\ln Y_{MnO}(l) = (-7850 N_{SiO_2}(N_{FeO} + N_{SiO_2}) + 3372 N_{FeO} \cdot N_{SiO_2})/T \quad (6)^{4)}$$

$$\ln Y_{SiO_2}(l) = (-3372 N_{SiO_2}(N_{FeO} + N_{MnO}) + 7850 N_{MnO} (N_{FeO} + N_{MnO}) + 4428 - 1.01 T)/T \quad (7)^{4)}$$

Fig. 1 に示すような並流反応モデルにおいてマスバランスは(8)式のように表わされる。

$$[Si]_{i+1}/[Si]_i = (1 + \beta \exp[-Ms_i(1 + 1/\beta)]) / (1 + \beta)$$

$$\beta = L_{Si} Q_s / Q_m, M_{Si} = A K_m / Q_m$$

Qm, Qs: メタル・スラグ流量, A: 反応界面積

Lsi: 平衡分配比(Si)/(Si), km: 総括物質移動係数

本研究では、溶銑桶長さが 20m であるが、TIM の有効な反応距離をフランクス添加後 600mm までと見積り、それ以降 SFM に反応型式が移行するものとした。桶の微小長さ  $dZ$  は 0.05m としてスラグメタル平衡分配比を逐次計算して(8)式に代入し、スラグメタル間の Fe, C, Mn, O のマスバランスをとり、実績値より  $M_{Si}$  値を求めた。

3. 結果と考察 溶銑桶における SFM および TIM でのメタル・スラグ成分変化の推定値を Fig. 2 ~ Fig. 5 に、桶微小長さ当たりの脱珪率を Fig. 6 に示す。平衡分配比が非常に大きいため  $\beta$  値の反応への寄与は小さく、 $M_{Si}$  値により脱珪速度が決定されていることがわかる。TIM の効果的な反応領域においては、SFM に比べ、 $M_{Si}$  値が約 100 倍となっていることが明らかとなった。

4. 結論 TIM の SFM に対する優位性を定量的に評価することができた。

参考文献 (1) 中村ら; 鉄と鋼 68(1982) S946 (2) 学振 製鋼反応推進平衡値; 日刊工業新聞社刊

(3) G.K.Sigworth et al; Metal Sci.J.8(1974)p298

(4) 藤田ら; 鉄と鋼 56(1970)p83

(5) 浅井滋生; 鉄鋼工学ヤミナー (1982)p35

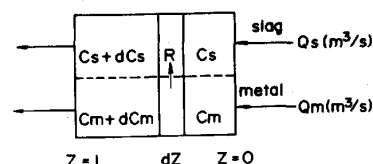


Fig. 1 co-current flow model

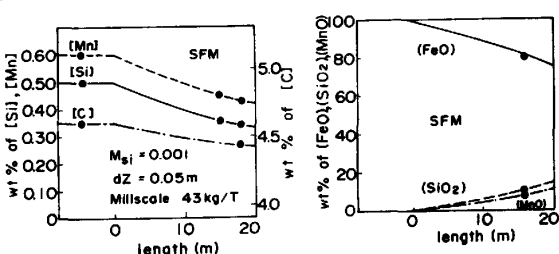


Fig. 2 Metal composition during desiliconization by SFM

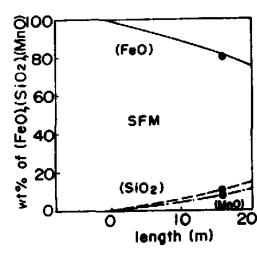


Fig. 3 Slag composition during desiliconization by SFM

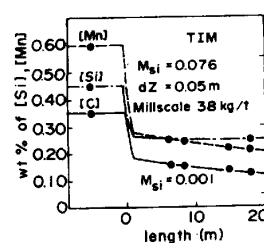


Fig. 4 Metal composition during desiliconization by TIM

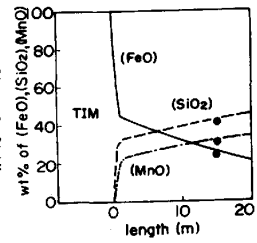


Fig. 5 Slag composition during desiliconization by TIM

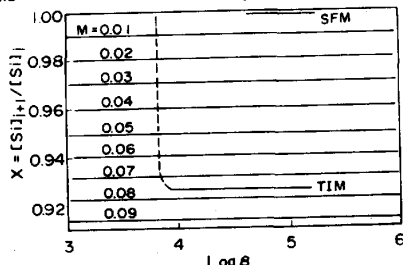


Fig. 6 Change of desiliconization degree in the unit cell